

## МОСКОВСКИЙ ГОСУДАРСТВЕННЫЙ УНИВЕРСИТЕТ имени М.В. Ломоносова

#### Константинова Елизавета Александровна

## Введение в теорию Ядерного Магнитного Резонанса

## Уравнения БЛОХА

$$\mathbf{M_0} = \chi \mathbf{H_0} \,,$$

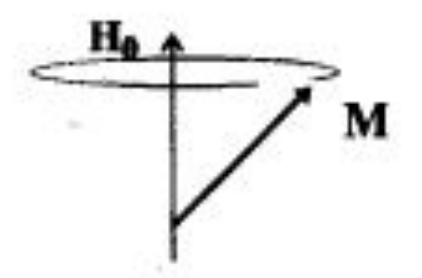
$$\chi = \frac{Ng_N^2 \beta_N^2 I(I+1)}{3kT}$$

$$\frac{d\mathbf{M}}{dt} = \gamma \mathbf{M} \times \mathbf{H}$$

$$H=\{0, 0, H_0\}=const, \omega_0=\gamma H_0$$

$$\begin{cases} \frac{dM_x}{dt} = \omega_0 M_y, \\ \frac{dM_y}{dt} = -\omega_0 M_x \\ \frac{dM_z}{dt} = 0. \end{cases}$$

$$M_x(t) = M_x(0) \cos \omega_0 t + M_y(0) \sin \omega_0 t$$
,  
 $M_y(t) = -M_x(0) \sin \omega_0 t + M_y(0) \cos \omega_0 t$ ,  
 $M_z(t) = M_z(0)$ .



## Уравнения БЛОХА

$$\frac{dM_x}{dt} = \omega_0 M_y - \frac{M_x}{T_2}, \quad \frac{dM_z}{dt} = -\frac{(M_z - M_0)}{T_1}.$$

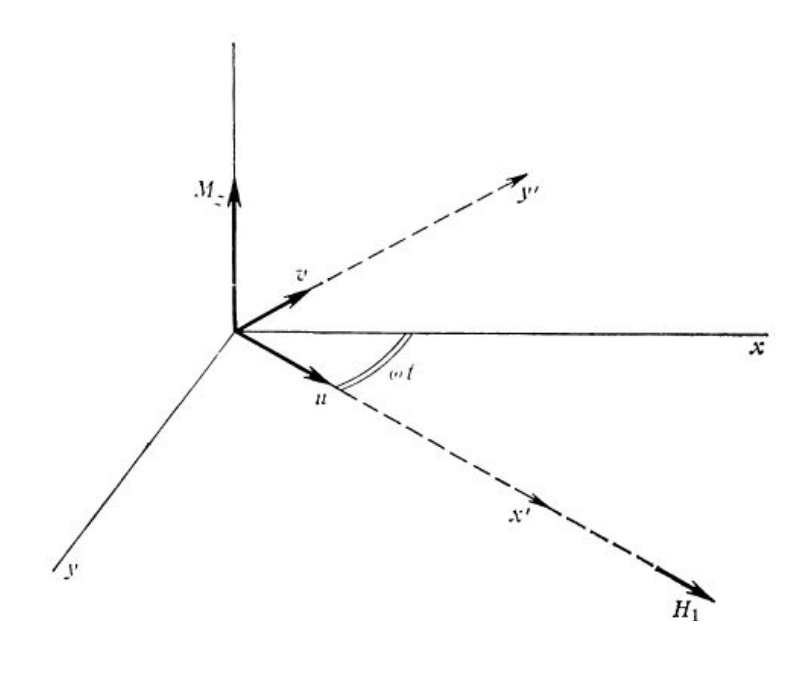
$$\frac{dM_y}{dt} = -\omega_0 M_x - \frac{M_y}{T_2},$$

$$\frac{dM_z}{dt} = -\frac{(M_z - M_0)}{T_1}.$$

$$\frac{dM_x}{dt} = -\frac{M_x}{T_2},$$

$$\frac{dM_x}{dt} = -\frac{M_x}{T_2},$$

$$\frac{dM_y}{dt} = -\frac{M_y}{T_2}.$$



$$\mathbf{M}' = \mathbf{i}'u + \mathbf{j}'v + \mathbf{k}'M_z,$$

$$\mathbf{H}'_1 = \mathbf{i}'H_1,$$

$$\mathbf{\omega}' = -\mathbf{\omega}\mathbf{k}'.$$

$$\frac{d\mathbf{M}}{dt} = \gamma_N \left(\mathbf{M} \times \mathbf{H}_0\right) + \gamma_N \left(\mathbf{M} \times \mathbf{H}_1\right) - \frac{(iM_x + jM_y)}{T_2} - \frac{k \left(M_z - M_0\right)}{T_1},$$

где  ${\bf i},\ {\bf j},\ {\bf k}$ — единичные векторы вдоль осей  $x,\ y,\ z$  и  ${\bf H_1} = H_1\,({\bf i}\cos\omega t - {\bf j}\sin\omega t).$ 

$$\mathbf{M}' = \mathbf{i}'u + \mathbf{j}'v + \mathbf{k}'M_z, 
\mathbf{H}'_1 = \mathbf{i}'H_1, 
\mathbf{\omega}' = -\omega\mathbf{k}'.$$

$$\mathbf{M}' = \mathbf{i}'u + \mathbf{j}'v + \mathbf{k}'M_z, 
\mathbf{d}u + \mathbf{j}'\frac{dv}{dt} + \mathbf{k}'\frac{dM_z}{dt}.$$

$$\frac{d\mathbf{i}'}{dt} = \mathbf{\omega}' \times \mathbf{i}'. \qquad \frac{d\mathbf{M}}{dt} = \left(\mathbf{i}' \frac{du}{dt} + \mathbf{j}' \frac{dv}{dt} + \mathbf{k}' \frac{dM_z}{dt}\right) + \left(u \frac{d\mathbf{i}'}{dt} + v \frac{d\mathbf{j}'}{dt} + M_z \frac{d\mathbf{k}'}{dt}\right) = \frac{\delta \mathbf{M}'}{\delta t} + \mathbf{\omega}' \times \mathbf{M}'.$$

$$\frac{\delta \mathbf{M'}}{\delta t} = \gamma_N \mathbf{M'} \times (\mathbf{H'_0} + \mathbf{\omega'}/\gamma_N) + \gamma_N (\mathbf{M'} \times \mathbf{H'_1}) - \frac{\mathbf{i'}u + \mathbf{j'}v}{T_2} - \frac{\mathbf{k'}(M_z - M_0)}{T_1}$$

Компоненты вектора М' равны соответственно

$$\frac{du}{dt} = (\omega_0 - \omega) v - \frac{u}{T_2},$$

$$\frac{dv}{dt} = -(\omega_0 - \omega) u + \gamma_N H_1 M_z - \frac{v}{T_2},$$

$$\frac{dM_z}{dt} = -\gamma_N H_1 v - \frac{(M_z - M_0)}{T_1}.$$

$$u = M_0 \frac{\gamma_N H_1 T_2^2 (\omega_0 - \omega)}{1 + T_2^2 (\omega_0 - \omega)^2 + \gamma_N^2 H_1^2 T_1 T_2},$$

$$v = M_0 \frac{\gamma_N H_1 T_2}{1 + T_2^2 (\omega_0 - \omega)^2 + \gamma_N^2 H_1^2 T_1 T_2},$$

$$M_z = M_0 \frac{1 + T_2^2 (\omega_0 - \omega)^2}{1 + T_2^2 (\omega_0 - \omega)^2 + \gamma_N^2 H_1^2 T_1 T_2}.$$

### **ВВЕДЕНИЕ**

ЯМР — это физическое явление, используемое для изучения свойств молекул материи путем облучения ядер атомов радиоволнами в магнитном поле

#### Использование ЯМР

- Химический анализ: структура и динамика молекул
- Материаловедение: характеристики физических свойств материалов
- Получение изображений в медицине: магнитно-резонансная томография (самая большая область применения)
- Химическая инженерия: измерение диффузии, сечений потока и распределения скоростей
- *Каротаж* в геофизике и разведка нефти: получение характеристик углеводородов в горных породах
- Контроль процесса производства и качества продукции при помощи ЯМР со слабым полем и односторонних ЯМР-сенсоров

#### ОБОРУДОВАНИЕ для ЭПР

Получение изображения: ЯМР-томограф, состоящий из магнита, радиочастотного передатчика, приемника, модулятора для магнитных градиентных полей и компьютера

• Контроль процесса производства и качества: компьютерный спектрометр или мобильный ЯМР-спектрометр с соответствующими ЯМР-сенсорами

Спектроскопия: ЯМРспектрометр, состоящий из магнита, СВЧисточника, приемника и компьютера



### История ЯМР:

Стоимость некоторых услуг в ЯМР:

Спектроскопия 250 000-4000 000 Евро

Получение изображений 250 000-2000 000 Евро ЯМР для контроля процесса производства и качества 25 000-100 000 Евро

Дипломная работа 20 000 Евро Кандидатская диссертация, включая стоимость оборудования 200 000 Евро

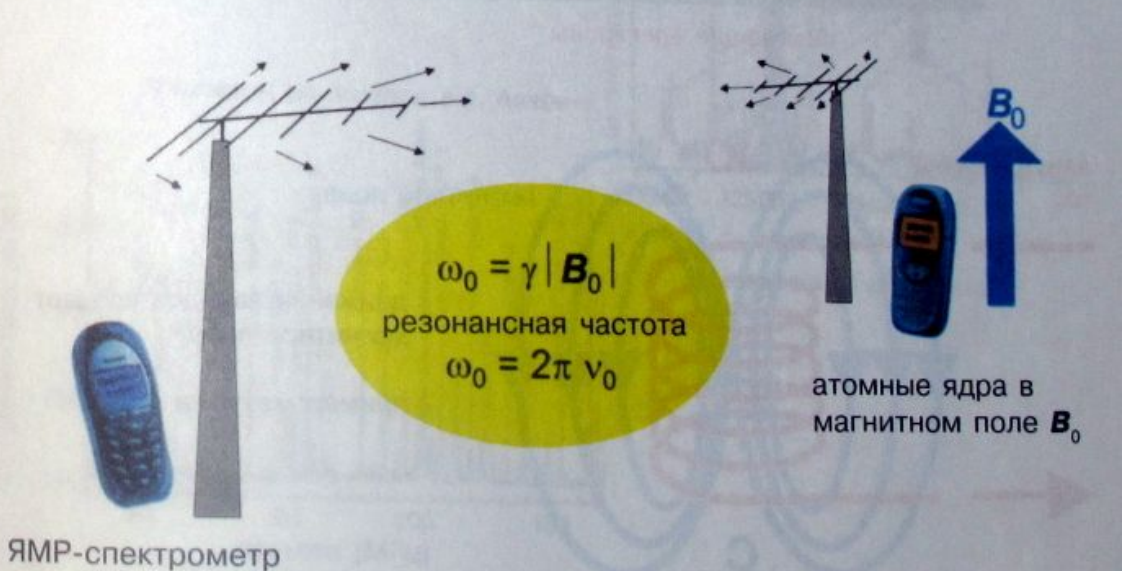
- 1945: Первое успешное определение сигналов ЯМР Феликсом Блохом (Felix Bloch) (Стэнфорд) и Эдвардом Парселлом (Edward Purcell) (Гарвард): Нобелевская премия в области физики в 1952 г.
- 1949: Открытие Эрвином Ханом (Erwin Hahn) ЯМР-эха
- 1951: Открытие химических сдвигов Дж.Т. Арнольдом (J.T. Arnold) и Ф.С. Ю (F.C. Yu)
- 1951: Открытие непрямого спин-спинового взаимодействия У.Дж. Проктором (W.G. Proctor)
- 1953: ЯМР поля Земли для каротажа Шлюмбергера-Долла (Schlumberger-Doll)
- 1966: Введение метода Фурье в обработку спектра ЯМР Ричардом Эрнстом (Richard Ernst), Нобелевская премия в области химии в 1991 г.
- 1971: Двумерный ЯМР Жана Жене (Jean Jeener), позже многомерный ЯМР Ричарда Эрнста
- 1972: Получение *ЯМР-изображений* Полом Лотербюром (Paul Lauterbur) и Питером Мэнсфилдом (Peter Mansfield), Нобелевская премия по медицине в 2003 г.
- 1975: Мультиквантовый ЯМР и спектроскопия, разработанная Т. Хэши (Т. Hachi), позднее Алексом Пайнезом (Alex Pines) и Ричардом Эрнстом
- 1977: ЯМР-спектроскопия высокого разрешения для твердых тел Джона Во (John Waugh), Эда Стеджскела (Ed Stejskal) и Джека Шефера (Jack Schaefer)
- 1979: Двумерный обменный ЯМР Жана Жене. Курт Вютрих (Kurt Wuthrich) применил его для анализа белков в молекулярной биологии, Нобелевская премия по химии в 2002 г.
- 1980: Односторонний ЯМР для контроля процесса производства и для медицинских целей Джаспера Джэксона (Jasper Jackson)
- 1984: Гиперполяризация ксенона Вильямом Хэппером (William Happer)
- 1995: Коммерциализация ЯМР-каротажа компанией NUMAR

#### Основные принципы ЯМР

- При воздействии внешнего магнитного поля атомные ядра могут получать и испускать радиоволны. Их частота  $v_0$  пропорциональна силе  $v_0$  пропорциональна силе  $v_0$
- Коэффициентом пропорциональности является гиромагнитное отношение γ. Это величина, постоянная для данного ядерного изотопа
- Содержание некоторых изотопов в природе и соответствующие частоты излучения приведены ниже:

ядерные изотопы	содержание в природе	$V_0$ при $B_0 = 1.0$ Тл
¹H	99,98% 99,63% 100,00% 1,108% 26,44%	42,57 МГц 3,08 МГц 40,05 МГц 10,71 МГц 11,78 МГц
14N		
<sup>19</sup> F <sup>13</sup> C		
<sup>129</sup> Xe		

ЯМР как форма телекоммуникации в магнитном поле

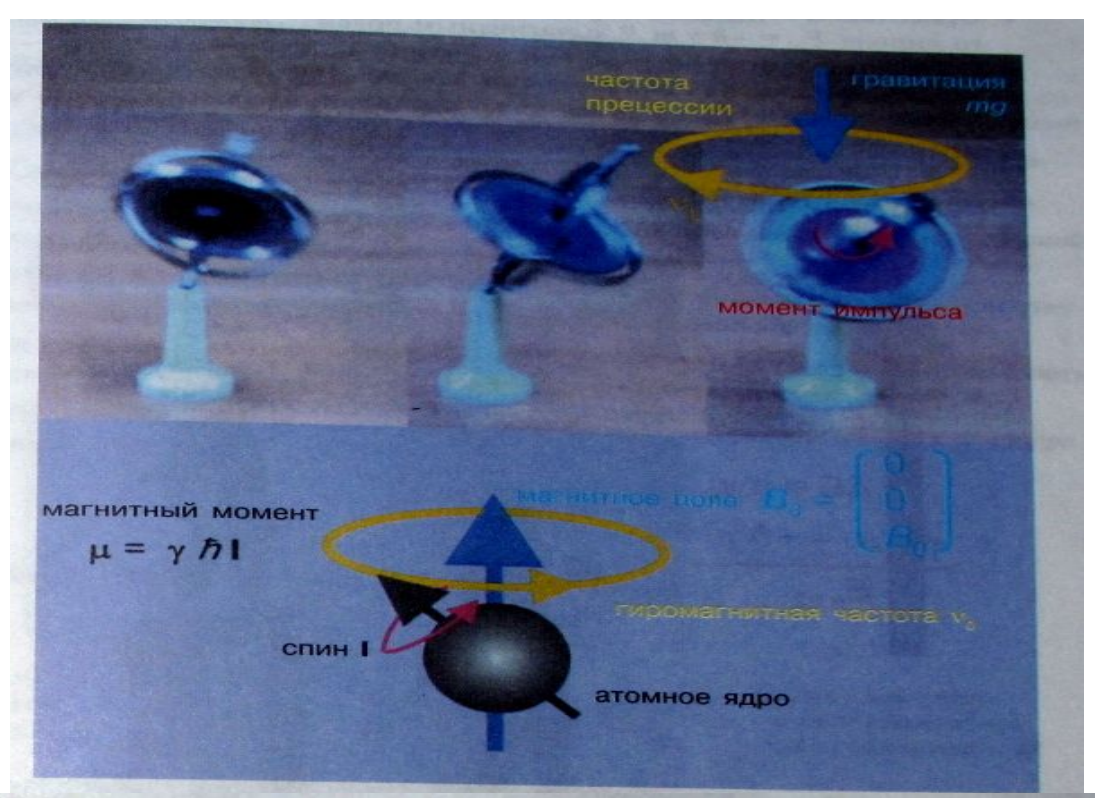


### Химический сдвиг

- Индуцированное магнитное поле приводит к сдвигу резонансной частоты:  $\omega_{\rm L} = 2\pi v_{\rm L} = \gamma (1 - \sigma) B_0$
- Величина о постоянная магнитного экранирования для данной хими-
- Величина  $\delta = (\nu_L \nu_{_{\mathfrak{I}\!\!\!\! 37}})/\nu_{_{\mathfrak{I}\!\!\!\! 7}}$  это *химический сдвиг* данной группы. Он не
- Химический сдвиг можно вычислить по таблицам инкрементов химического сдвига, а также на основе законов квантовой механики
- В разных группах химических элементов величина химического сдвига
- В жидкостях резонансный сигнал обычно имеет ширину 0,1 Гц
- Распределение резонансных частот образует ЯМР-спектр
- ЯМР-спектр отображает структуру молекулы, так же как распространение радиоволн на определенной территории говорит о географических
- Выявление ЯМР-спектра молекул в растворах является стандартным методом анализа для последующего химического синтеза

#### Ядерный магнетизм

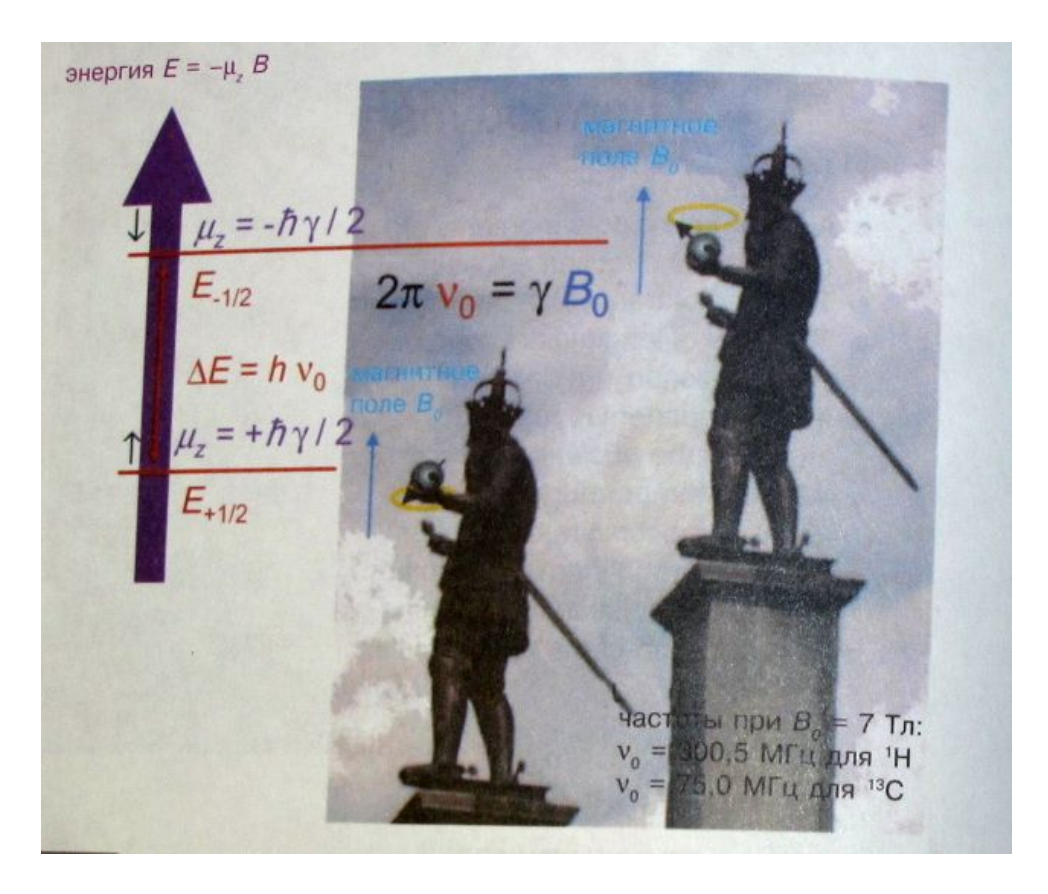
- В образце вещества можно обнаружить примерно 10<sup>23</sup> атомных ядер на моль
- Некоторые атомные ядра обладают свойствами магнитного диполя
- Например: <sup>1</sup>H, <sup>2</sup>H, <sup>13</sup>C, <sup>14</sup>N, <sup>19</sup>F, <sup>31</sup>P, <sup>129</sup>Хе
- Так как атомные ядра состоят из небольшого количества элементарных частиц, к ним нельзя применять законы классической физики. В них действуют законы квантовой механики
- Согласно положениям квантовой механики, элементарный магнитный диполь с дипольным моментом также имеет момент импульса hI, или спин I
- В законах физики элементарных частиц используется постоянная Планка h или  $\hbar = h/(2\pi)$
- Классическим объектом, имеющим момент импульса, является вращающийся волчок
- Вращающийся в гравитационном поле волчок формально подчиняется тем же законам, что и спин в магнитном поле: он прецессирует вокруг направления поля
- В ЯМР частота прецессии называется гиромагнитной (ларморовой) частотой



- Согласно принципу неопределенности Гейзенберга, можно измерить только составляющую спина в направлении магнитного поля
- Из квантовой механики известно, что спин со спиновым квантовым числом I может принимать 2I+1 стабильных ориентаций в магнитном поле
- Проекция момента импульса спина на направление магнитного поля пропорциональна магнитному квантовому числу m, где m = I, I - 1, ..., -I
- Уравнение I = 1/2 верно для ядер <sup>1</sup>H, <sup>13</sup>C, <sup>19</sup>F, <sup>31</sup>P, <sup>129</sup>Xe, а I = 1 для ядер <sup>2</sup>H, <sup>14</sup>N
- Для ядра со спином I = 1/2 возможны две ориентации его проекции по отношению к оси магнитного поля:  $\uparrow$  и  $\downarrow$

Ориентации отличаются по энергии взаимодействия ядерного магнитно-

Ориентации отличаются по выраганий полем го диполя  $E_m = -\hbar \gamma m B_0$  с магнитным полем Согласно формуле Бора  $\Delta E = h \nu_0$ , разница энергий  $\Delta E = E_{-1/2} - E_{+1/2} = \hbar \gamma B_0$ , связанная с ориентациями, соответствует частоте  $\omega_0 = 2\pi \nu_0 = \gamma B_0$  В этом случае  $\nu_0$  является частотой прецессии ядерного спина в магнитном поле



## Ядерная намагниченностьв условиях ТД равновесия

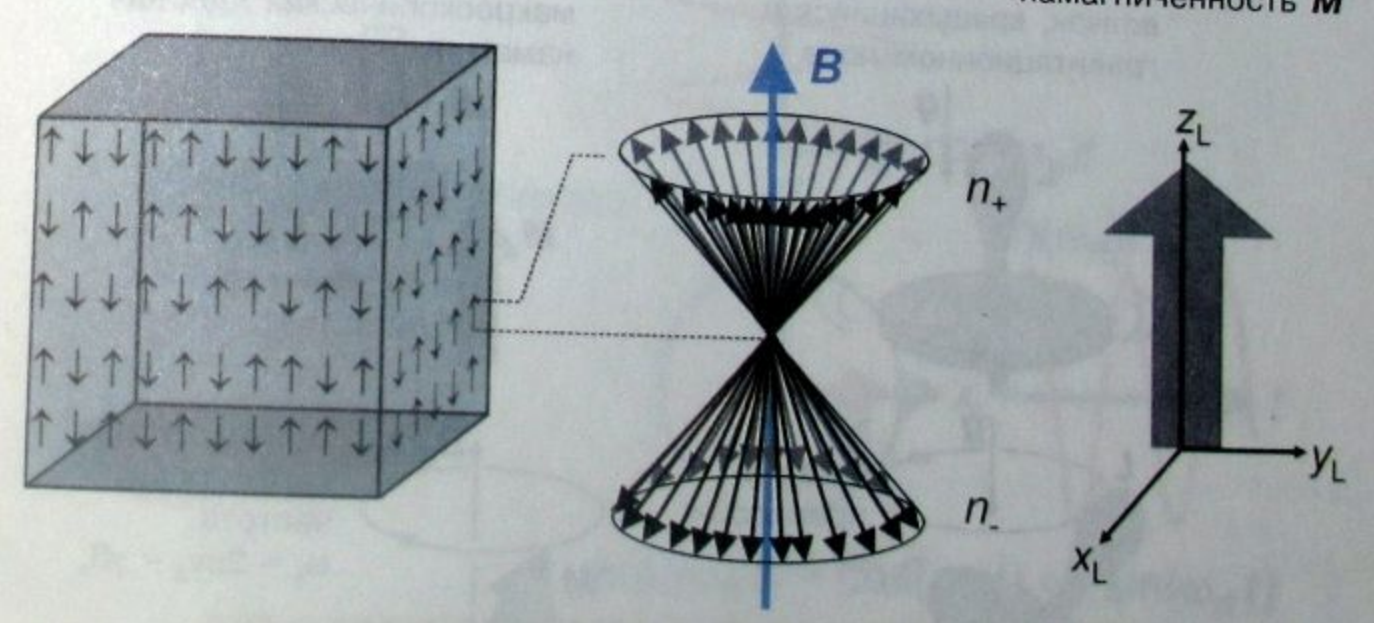
- Все магнитные дипольные моменты складываются как векторы; их составляющие в каждом направлении пространства являются аддитивными
- Сумма поперечных компонентов (если таковые имеются) равна нулю
- Сумма продольных компонентов создает продольную намагниченность
- Эти компоненты называются магнитной поляризацией ядер или ядерной
- При комнатной температуре только около 10<sup>8</sup> спинов из 10<sup>23</sup> способствуют макроскопическому ядерному намагничиванию образца
- В состоянии термодинамического равновесия ядерная намагниченность ориентирована параллельно направлению магнитного поля

Направление магнитного поля совпадает с направлением оси г лабораторной системы координат ЛСК (индекс L)

## Макроскопическое намагничивание

макроскопический образец:  $10^{23}$  ядерных  $n/n_{+} = \exp\{-\Delta E/k_{\rm B}T\}$ спинов

сумма векторов: макроскопическая намагниченность М



### Уравнение Блоха

• Когда намагниченность M не совпадает с осью  $z_{\rm L}$ , она прецессирует вок-Когда намагниченно прецессии вращающегося волчка в гравитационном поле д

• Эта прецессия описана уравнением для магнитного вращающегося волчка:

$$\frac{d}{dt}M = \gamma M \times B$$

Согласно этому уравнению, любое изменение dM намагниченности м перпендикулярно M и B; следовательно, M прецессирует

В общем, любое макроскопическое прецессирующие движение является затухающим. Поэтому Феликс Блох ввел феноменологические члены затухания:

$$\mathbf{R} = \begin{pmatrix} 1/T_2 & 0 & 0 \\ 0 & 1/T_2 & 0 \\ 0 & 0 & 1/T_1 \end{pmatrix}$$

Конечное уравнение и является уравнением Блоха,

$$\frac{d}{dt}M = \gamma M \times B - R (M - M_0)$$

где  $M_0$  — начальная намагниченность,  $T_1$  — время продольной релаксации,  $T_2$  — время поперечной релаксации

Примечание: уравнение Блоха выражает левое вращение поперечной намагниченности. Но для удобства в этой работе, как и в большинстве литературы, будет рассматриваться правое вращение

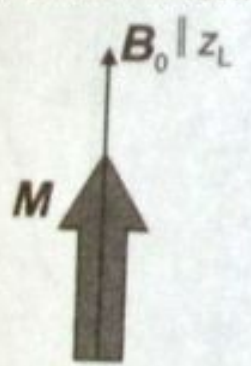
#### Прецессия ядерной намагниченности

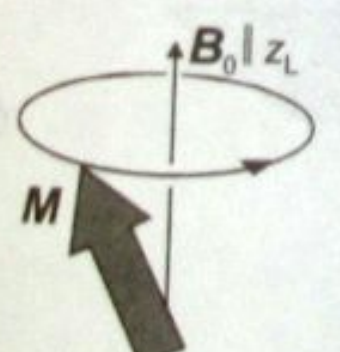
волчок, вращающийся в гравитационном поле





макроскопическая ядерная намагниченность





гиромагнитная (ларморова) частота  $\omega_0 = 2\pi v_0 = \gamma B_0$ 

## Контактная ядерная намагниченность

- Ядерная намагниченность может быть отклонена от направления  $z_{\rm L}$  поляризации магнитного поля  $B_0$  посредством радиочастотного (РЧ) излучения
- Таким образом происходит генерация магнитного поля, которое вращается вокруг  $\boldsymbol{\mathit{B}}_{\scriptscriptstyle{0}}$  с частотой  $\boldsymbol{\omega}_{\scriptscriptstyle{\mathrm{pq}}}$
- Для максимального взаимодействия вращающегося поля с ядерной намагниченностью выбирается режим резонанса  $\omega_{pq} = \omega_0$
- Так как  $v_0 = \omega_0/2\pi$  радиочастота, вращающееся магнитное поле является электромагнитной радиочастотной волной
- Высокочастотные электромагнитные волны излучаются передающими антеннами или колебательными электронными РЧ-контурами
- Электронный осциллятор состоит из катушки с индуктивностью L, конденсатора с емкостным сопротивлением C и резистора с сопротивлением R
- Катушка генерирует линейно поляризованное осциллирующее магнитное
- Две ортогональных линейно поляризованных волны  $\cos \omega_{pq} t$  и  $\sin \omega_{pq} t$  генерируют вращающуюся волну
- Линейно поляризованная волна  $\sin \omega_{pq} t$  может быть разложена на волну правового вращения  $1/2 \exp\{i \omega_{pq} t\}$  и волну левого вращения  $1/2 \exp\{-i \omega_{pq} t\}$
- Чтобы оптимально использовать осциллирующее магнитное поле, образец исследуемого вещества помещают внутрь катушки

- При преобразовании одной системы координат в другую меняется точка наблюдения, то есть они изменяются математически, но не физически наблюдения, то есть они изменяются математически является вращательным
- Так как прецессия ядерной намагниченности является вращательным движением и РЧ-возбуждение является вращающейся волной, намагниченность проще изучать во вращающейся системе координат (ВСК)
- Собака на кольцевой дороге помещена в лабораторную систему координат (ЛСК): для нее велосипеды движутся по кольцу с угловой скоростью  $\omega_{pq}$  и  $\omega_{pq} + \Omega$
- Велосипедисты видят местность вокруг из ВСК. Они находятся в состоянии покоя в соответствующей ВСК
- Для велосипедиста слева внизу местность вращается против направления движения его велосипеда с угловой скоростью  $-\omega_{pq}$
- Для велосипедиста слева внизу верхний велосипедист едет с угловой скоростью Ω в его ВСК
- Вектор, соединяющий центр кольцевой дороги и точку, в которой находятся велосипедисты, совпадает с вектором намагниченности в поперечной плоскости ху
- Угловая скорость ВСК относительно ЛСК соответствует частоте ω<sub>рч</sub> РЧ-волны



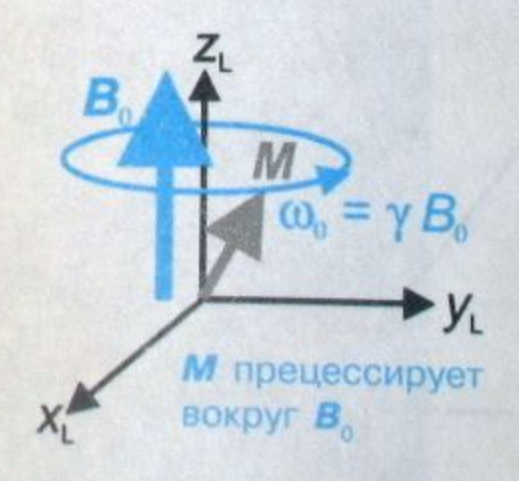
## Радиочастотные импульсы

- В системе координат, которая вращается с частотой ω, вокруг оси z, намагниченность M остается в состоянии покоя, даже если она не парал-
- Если намагниченность не вращается, то в данной системе координат нет активного магнитного поля, создающего вращающий момент намагни-
- При резонансе  $\omega_{pq} = \omega_0$  и РЧ-поле  $B_1$  не зависит от времени и является
- В ВСК, которая вращается в ЛСК с  $\omega_{pq} = \omega_0$  вокруг  $B_0$ , намагниченность вращается вокруг поля  $\boldsymbol{B}_1$  с частотой  $\boldsymbol{\omega}_1 = \gamma |\boldsymbol{B}_1|$  аналогично вращению в
- Если  $B_1$  поворачивается в импульсном режиме за время  $t_{\mu}$ , то 90° импульс определяется для  $\omega_1 t_u = 90^\circ$ , а 180° импульс для  $\omega_1 t_u = 180^\circ$
- Фаза  $\phi_0$  вращающегося РЧ-поля  $B_1$   $\exp\{i\ \omega_{pq}t+i\ \omega_0\}$  определяет направле-
- Используя эту фазу, намагниченность можно вращать в ВСК вокруг разных осей, например, 90° означает положительное вращение на 90° вокруг оси y в ВСК, а  $180^{\circ}_{x}$  — положительное вращение вокруг оси x

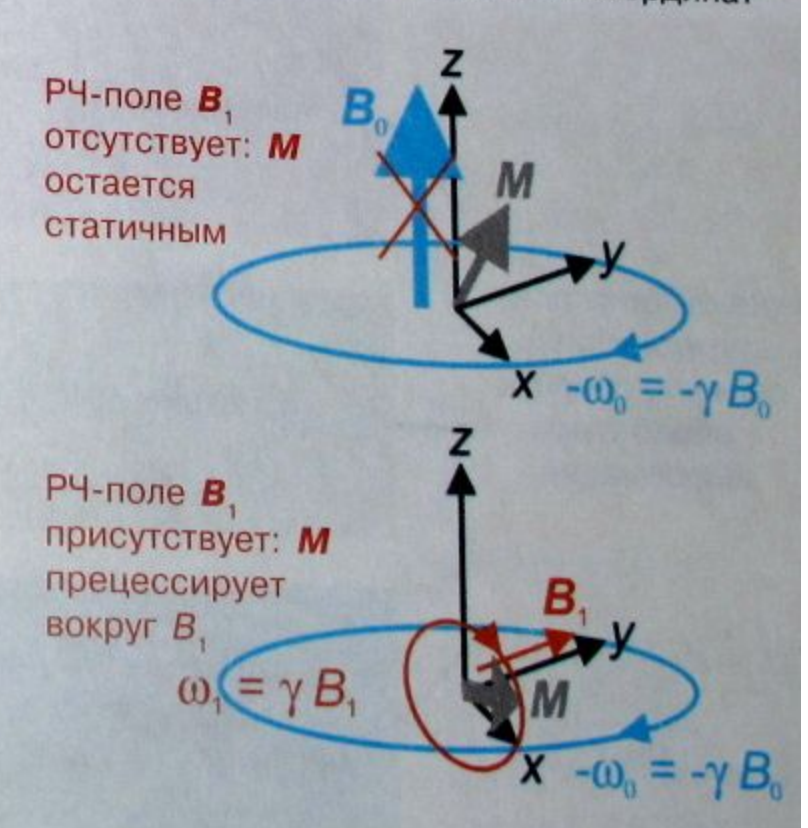
#### Действие РЧ-импульса

лабораторная система координат

вращающаяся система координат



90°-ный импульс:  $\omega_i t_u = \pi/2$  180°-ный импульс:  $\omega_i t_u = \pi$ 



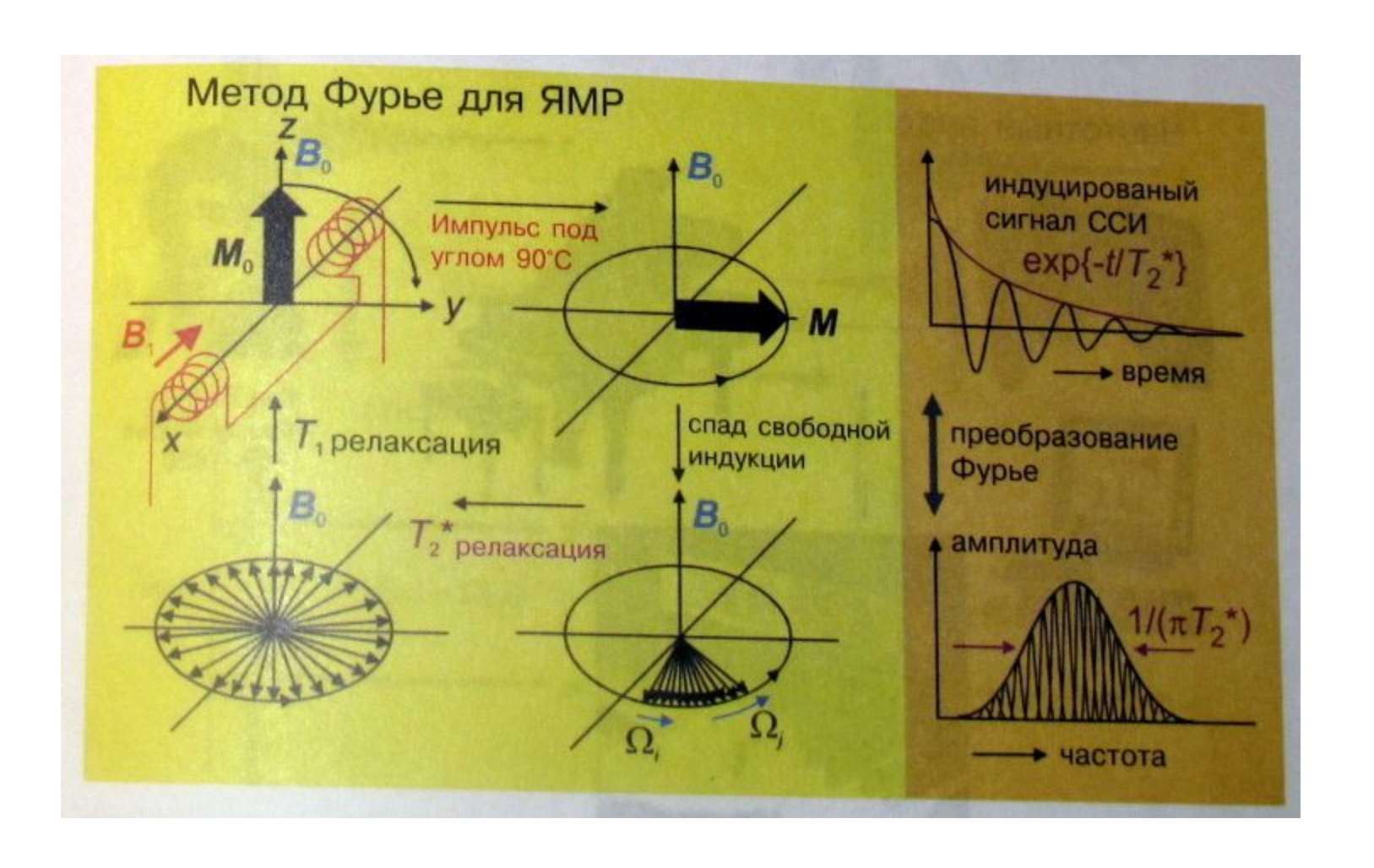
#### ЯМР-спектрометр

- Образец помещается в магнитное поле  ${\it B}_{0}$  внутри РЧ-катушки, которая является частью P4-осциллятора, настроенного на частоту  $\omega_{pq}$ • Осциллятор, контролируемый компьютером, соединяется с РЧ-передат-
- чиком (ТХ) или с приемником (RX) • РЧ-импульс в 90° из передатчика изменяет направление намагниченнос-
- ти с  $z_L$ , сонаправленного с  $B_0$ , в поперечную плоскость • Под воздействием импульса поперечные компоненты намагниченности
- прецессируют вокруг оси  $z_L$  в ЛСК с частотой  $\omega_0$
- Согласно принципу динамо, прецессирующая намагниченность индуцирует электрическое напряжение в катушке, осциллирующей с частотой  $\omega_0$ • В приемнике этот сигнал смешивается с соответствующей волной с час-
- тотой  $\omega_{pq}$ , и тогда аудиосигнал определенной частоты отфильтровывается
- Этот этап является переходом во вращающуюся систему координат
- В зависимости от фазы  $\phi_0 = 0^\circ$  и 90° основной волны  $\sin (\omega_{pq} t + \phi_0)$ , в ВСК измеряются квадратурные составляющие поперечной намагниченности  $\sin (\omega_0 - \omega_{pq})t$  и  $\cos (\omega_0 - \omega_{pq})t$ , соответственно
- Обычно оба компонента квадратуры измеряются одновременно
- Для получения изображений и измерений потока спектрометр оснащен переключаемыми градиентными полями в направлениях  $x_L$ ,  $y_L$  и  $z_L$  в ЛСК



## Импульсное возбуждение

- За пределами магнитного поля моменты ядерного магнитного диполя ориентированы в пространстве случайным образом
- При помещении образца в магнитное поле  $B_0$ , продольная намагниченность  $M_0$  образует параллель с  $B_0$  за константу времени  $T_1$ , определяемую согласно распределению Больцмана  $M_z(t) = M_0(1 - \exp\{-t/T_1\})$  для ядер-
- РЧ-импульс под углом 90° от передатчика поворачивает намагниченность в плоскость, перпендикулярную направлению z магнитного поля  $B_0$  в ВСК
- После РЧ-импульса поперечные составляющие намагничивания  $M_i$  прецессируют вокруг оси z в ВСК с различными частотами  $\Omega_i = \omega_{Li} - \omega_{pq}$
- Каждая составляющая  $M_i$  соответствует различным химическим сдвигам или другим особенностям образца с различным полем магнитной поляризации
- Векторная сумма составляющих поперечной намагниченности затухает в течение константы времени  $T_2^*$  благодаря интерференции составляющих с различными частотами прецессии  $\Omega_i$
- $T_2^*$  это время поперечной релаксации, которое определяется зависящими или не зависящими от времени локальными магнитными полями
- Затухание сигнала часто экспоненциально:  $M_{xy}(t) = M_z(0) \exp \{-t/T_2^*\}$
- Сигнал, индуцируемый в катушке после возбуждения импульса это спад свободной индукции (ССИ)
- Анализ частоты ССИ при помощи преобразования Фурье дает возможность получения ЯМР-спектра с шириной линии  $\Delta\Omega = 1/(\pi T_2^*)$



### Преобразование Фурье

- При изучении теплопроводности Фурье ввел преобразование, названное впоследствии его именем
   Преобразование Фурье (ПФ) это разложение функции s(t) на гармони-
- Преобразование Фурье (ПФ) от расприя от с изменяющейся частотой  $\omega$  ческие волны  $\exp\{i\ \omega t\} = \cos \omega t + i \sin \omega t$  с изменяющейся частотой  $\omega$  В процессе ЯМР спад свободной индукции s(t) преобразуется в спектр
- В процессе и и косинусоидных волн:  $S(\omega) = \int s(t) \exp\left\{-i \omega t\right\} dt$ • Спектр  $S(\omega) = U(\omega) + i V(\omega)$  состоит из действительной части  $U(\omega)$  и
- Спектр  $S(\omega)$  мнимой части  $V(\omega)$  Часто используется только магнитный спектр  $|S(\omega)| = [U(\omega)^2 + V(\omega)^2]^{1/2}$
- Часто используется только магнительно прансформации акустического сигна Преобразование Фурье аналогично трансформации акустического сигна-
- ла в оттенки звука при прослушивании
- Для дискретного преобразования Фурье существует быстрый алгоритм, который был заново открыт в 1965 году Дж.У. Кули (J.W. Cooley) и Дж.У. Тьюки (J.W. Tukey)

Алгоритм требует дискретного представления функции времени s(t) и спектра  $S(\omega)$  с шагом  $\Delta t$  и  $\Delta \omega$  переменных t и  $\omega$ 

Абсцисса дискретного спектра аналогична клавиатуре пианино

Амплитуда спектра аналогична громкости заданного тона

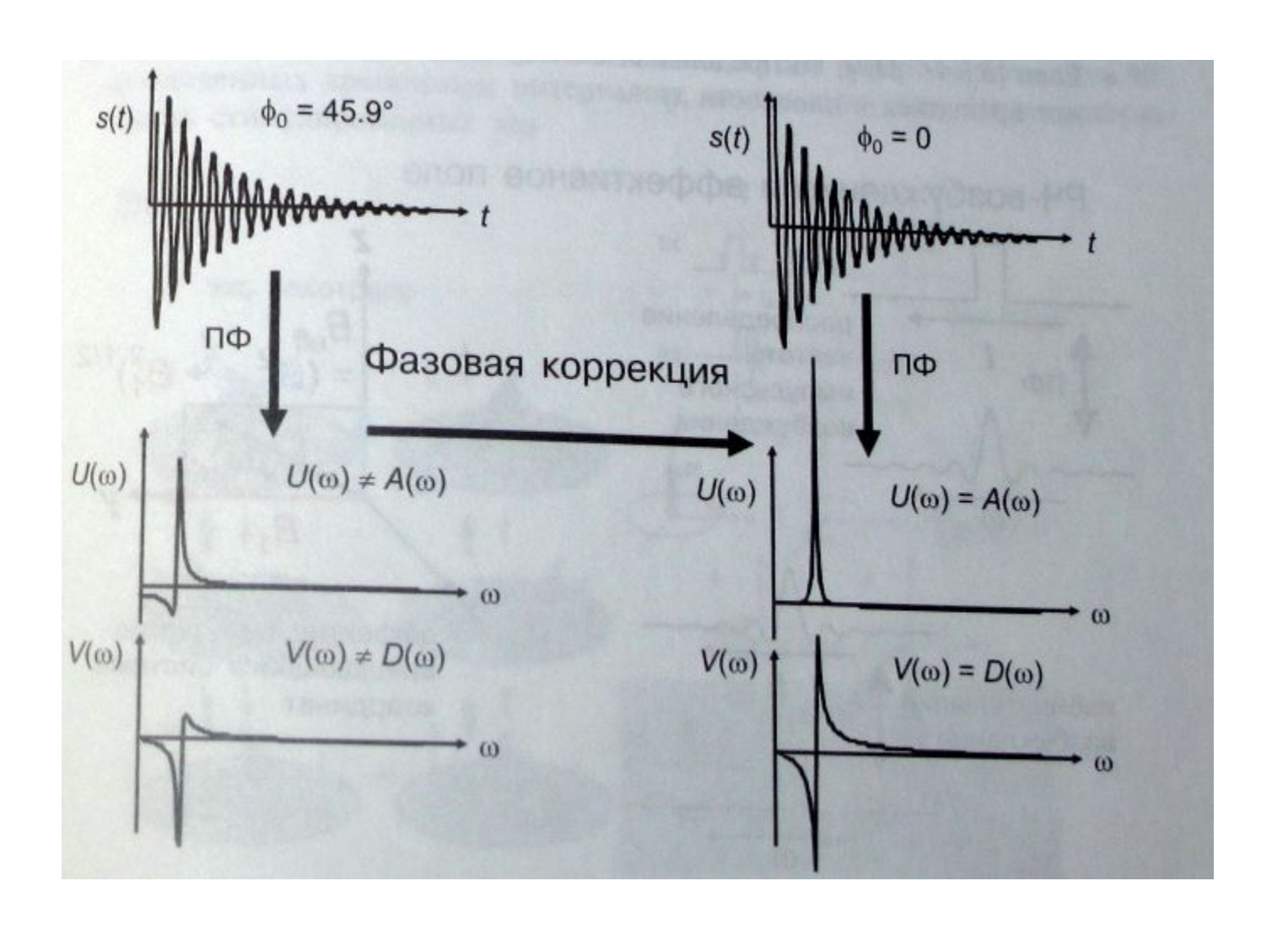
В ЯМР с импульсным возбуждением преобразование Фурье является частью процесса обработки информации

Импульсный ЯМР также называется ЯМР-Фурье-спектроскопия

Произведение двух Фурье-сопряженных переменных, например, t и  $\omega$ , всегда дает угол. Он называется фазой.

## Обработка сигнала

- В зависимости от фазы ф вращающейся системы координат, ССИ измеряется как сумма импульсных откликов  $s(t) = s(0) \exp \{-[1/T_2 - i\Omega]t + i \phi_0\}$ для каждой компоненты намагниченности с различными  $\hat{\Omega}$  в ВСК
- При  $\phi_0 = 0$  действительной частью  $U(\omega)$  преобразования Фурье  $S(\omega)$  является абсорбционный сигнал  $A(\omega)$ , а мнимой частью  $V(\omega)$  — дисперсионный
- При ф ≠ 0 абсорбционная и дисперсионная компоненты смешиваются в  $U(\omega)$  и  $V(\omega)$ , а суммарный комплексный спектр  $S(\omega) = U(\omega) + i V(\omega) = U(\omega)$  $= [A(\omega) + i D(\omega)] \exp\{i \phi_0\}$  должен быть скорректирован в фазе путем ум-
- Фазовая коррекция ф состоит из частотно-зависимого и частотно-незави-
- Частотно-независимый член корректируется с помощью программного обеспечения перед получением данных с использованием РЧ базовой
- Частотно-зависимый член определяется временем, в течение которого сигнал проходит через спектрометр, а также мертвым временем приемника после импульсного возбуждения
- Для оптимального разрешения требуется чисто абсорбционная мода спектра
- Частотная фазовая коррекция спектра является обычной процедурой в процессе обработки информации в ЯМР-спектроскопии высокого разрешения



Таким образом, есть принципиальное сходство методов ЭПР и ЯМР, заключающееся в условии парамагнитного резонанса. Но система регистрации сигнала поглощения различна в этих двух методах.